

球形拓扑中复杂形状生物膜泡的获得 及其稳定性分析^{*}

周晓华[†] 张劭光

(陕西师范大学物理与信息技术学院, 西安 710062)

(2005 年 12 月 28 日收到 2006 年 2 月 16 日收到修改稿)

通过在 Surface Evolver 软件中建立一些与目标形状相似的初始形状, 经长时间演化后, 得到了实验上已经观察到的具有 D_{2h} 和 D_{3h} 对称性的海星形生物膜泡. 通过跟踪不同形状膜泡的 Hessian 矩阵的本征值, 确定了双凹圆盘与海星形及哑铃形之间的相变是不连续的, 其间所经历的三角扁盘及椭圆扁盘形中间相在 SC 模型中通常是不稳定的.

关键词: SC 模型, 生物膜泡, Surface Evolver

PACC: 8720, 8720E, 0240

1. 引 言

由各向同性材料形成的肥皂泡之类的膜泡一般都是圆球形的. 另一方面, 静止的人类成熟红细胞却呈现双凹圆盘形. 为了揭示这些形状的形成原因, Canham 提出了生物膜的曲率能模型^[1]. 该模型中, 膜泡单位面积上的能量正比于 $(2H^2)$, 其中 H 为曲面的平均曲率. 考虑到膜两边环境的对称性因素对膜泡的影响, Helfrich 又在此基础上提出了自发曲率 (SC) 模型^[2]. 在此模型中, 平衡形状的膜泡由其自由能的最小值决定, 其能量为

$$F = \frac{1}{2} k_c \int (C_1 + C_2 - C_0)^2 dA + \Delta P \int dV + \lambda \int dA, \quad (1)$$

此处的 dA 和 dV 分别为曲面的面积元和体积元, k_c 为弹性模量, C_1 和 C_2 为曲面的两个主曲率, C_0 是描述膜泡周围环境的不对称性所引起的自发曲率. 拉格朗日乘子 ΔP 和 λ 分别对应于体积和面积约束. 其中 ΔP 可理解为膜泡内外的渗透压, 而 λ 可解释为曲面强度系数.

通过对方程 (1) 作变分, 要求能量的一阶变分 $\delta^{(1)} F = 0$. 欧阳和 Helfrich 得到了下面平衡形状的普

适方程^[3]

$$\Delta P - 2\lambda H + k_c(2H - C_0) \times (2H^2 - 2K - C_0 H) + 2k_c \nabla^2 H = 0, \quad (2)$$

此处的 ∇^2 为曲面拉普拉斯算子, $H = (C_1 + C_2)/2$ 为 Helfrich 对曲面平均曲率的定义(注: 欧阳在文献 [3] 中的取法为 $H = -(C_1 + C_2)/2$, 这样会导致 (2) 式中的 C_0 与文献 [3] 中的 C_0 相差一个负号), $K = C_1 C_2$ 为曲面高斯曲率. 此后, 人们希望通过找到该方程的解而获得膜泡的形状. 但是方程 (2) 是一个高阶非线性偏微分方程, 要得到其通解非常困难, 至今为止, 只有张和欧阳对柱面型通解进行了讨论^[4]. 其他的一些特解为欧阳等人给出, 包括克利福德锚环解^[5]、红血球解^[6]以及改进的德朗尼曲面解^[7].

为了标度不同形状膜泡的能量, 我们使用约化量来进行计算. 通常用膜泡面积 A 来定义约化半径 $R_0 = \sqrt{A/4\pi}$, 此时, 约化体积可表示为 $v = V/(4/3)\pi R_0^3$, 其中的 V 为膜泡体积. 同时可得到约化自发曲率 $c_0 = C_0 R_0$. 由此, 方程 (2) 的解将由 v 和 c_0 两个量决定. 对于轴对称的情况, Seifert 等人利用打靶法数值求解了与方程 (2) 等价的拉格朗日方程组并给出了球形和环形拓扑的相图^[8,9]. 虽然人们至今没能找到非轴对称的精确解, 然而实验上却发现了

^{*} 国家自然科学基金 (批准号: 30374063) 和陕西省自然科学基金计划 (批准号: 2003A08) 资助的课题.

[†] E-mail: zxhua@stu.snnu.edu.cn

许多非旋转对称的稳定膜泡^[10-12]. 为了进一步解释这些复杂的膜泡形状,人们又提出了一些其他的模型,包括面积差弹性(ADE)模型^[13]和与SC模型有相同形状方程的双层耦合(BC)模型^[14]. 近年来,欧阳小组利用功能强大的曲面模拟软件 Surface Evolver^[15],得到了一些非轴对称的膜泡^[16-18],此外,杜强等人的数值计算也获得了很丰富的图形^[19]. 但是以上这些数值求解的文章存在以下缺点:1)打靶法给出的只是轴对称形式的解及其基态相图,对于非轴对称形式却无能为力;2)所有的数值解都是只满足 $\delta^{(1)}F = 0$, 然而稳定性还要求膜泡能量的二阶变分 $\delta^{(2)}F > 0$; 3)没能表明不同形状之间相变的途径及其所经历的中间相. 我们的计算在一定程度上克服了前文的缺点,首次对 Surface Evolver 获得的形状进行了稳定性分析,并确定了两种不连续的相变及其对应的两种不稳定的中间相.

2. 软件的介绍及模型的建立

Surface Evolver 是美国 University of Minnesota 国家科学和几何结构计算与可视化研究中心 Brakke 教授开发的一个有限元模拟软件. 它通过对初始模型进行三角剖分来获得曲面的参数,如:面积、体积、平均曲率 H 等. 用于计算在曲面曲率能、液体表面能等能量作用下曲面或液体表面的平衡形态. 在 Surface Evolver 中,曲面的能量包括了表面张力能、重力势能、曲率能等. 与 SC 模型中的能量函数相比较,我们得到在该软件中膜泡的能量函数可表示为

$$F = m_1 \int (H - H_0)^2 dA + \lambda \int dA - P \int dV, \quad (3)$$

其中 m_1 为曲率能的权重,平均曲率 $H = (C_1 + C_2)/2$. 为了与 SC 模型一致,此处 $m_1 = 2k_c$, $P = -\Delta P$, H_0

$= C_0/2$. 在我们的计算中,取 $k_c = 1$.

该软件的一个特点是它能计算膜泡能量的 Hessian 矩阵,该矩阵是膜泡能量的二阶导数^[20]. 并且, Hessian 矩阵的每一个本征值代表膜泡在构型空间中的一种变形模式,可以通过给定某个本征值一定的步长改变来观察这种变形模式. 显然,只有 Hessian 矩阵正定的膜泡才可能是稳定的. 计算表明, Hessian 矩阵有时会出现接近于零的、对应着旋转或平移的本征值,这样的变形模式不会引起膜泡能量的改变,我们称之为平庸本征值. 如果出现非平庸的而且接近于零的本征值,那么这就可能是个不稳定点,在这种情况下,我们给定这些接近于零的本征值一定的步长改变,这相当于给膜泡加上了一个扰动,接着让膜泡长时间演化,如果它能变回原来的形状,那么该点就应该是稳定点,反之则是个不稳定点. 实践表明, Hessian 矩阵是分析膜泡稳定性的有效方法. 另外,要判定某种形状是否稳定,也可以直接使用该软件中的 Hessian_seek 命令^[20],但是该命令引入的扰动较大,从而不能获得一些有趣的中间相,因此我们一般不使用.

Surface Evolver 中常用对顶点取平均和使三角形等角化来获得光滑的曲面^[20],例如命令 $\{V; u; g5\}$ 其中 $\{V\}$ 表示对顶点取平均, $\{u\}$ 表示使三角形等角化, $\{g5\}$ 表示向着能量低的方向积分 5 次. 我们的计算中,每使用一次 $\{V; u; g5\}$ 命令称之为一步. 显然,反复使用 $\{V; u; g5\}$ 命令就可能获得较为稳定的曲面. 为了迅速得到目标形状,我们建立如图 1 中的初始形状. 这些初始形状的参数是可以调整的, (a) 是一个双凹盘形, (b) 类似于三爪海星形^[10], (c) 类似于四爪海星形^[10].

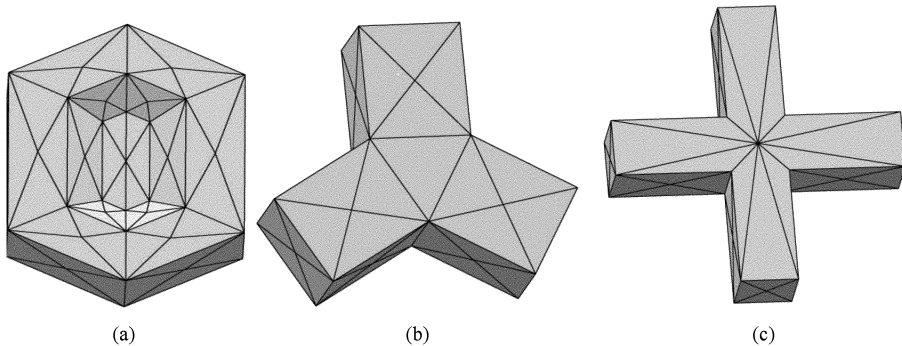


图 1 初始形状,依次分别具有 D_{2h} , D_{3h} 和 D_{4h} 对称性

3. 海星形膜泡

利用图 1(b)和(c)中的初始形状,逐次细分并长时间演化,很容易到具有 D_{3h} 和 D_{2h} 对称性的三爪

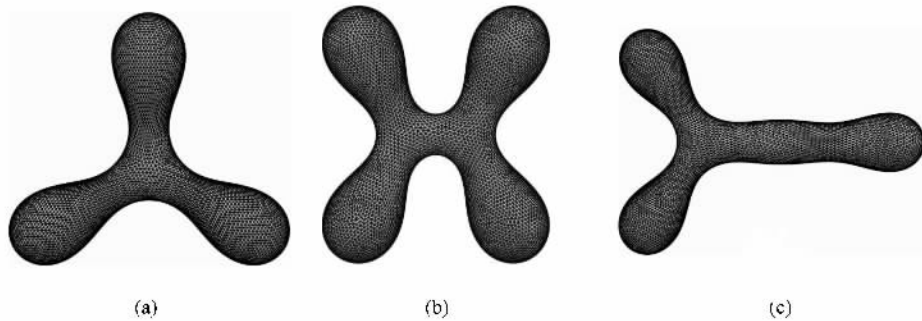


图 2 (a)具有 D_{3h} 对称性的三爪海星形,能量为 13.65, $R_0 = 4.26$, $c_0 = 2.03$, $v = 0.5$, $m = 1.67 \times 4\pi$, $\lambda = 0.218$, $P = -0.274$ (b)具有 D_{2h} 对称性的四爪海星形,能量为 23.12, $R_0 = 3.48$, $c_0 = 1.96$, $v = 0.5$, $m = 1.83 \times 4\pi$, $\lambda = 0.376$, $P = -0.656$. 这两种膜泡已被用一种改进的 ADE 模型讨论过^[10] (c)Y 字形,能量为 19.35, $R_0 = 4.25$, $c_0 = 2.03$, $v = 0.45$, $m = 1.81 \times 4\pi$, $\lambda = 0.32$, $P = -0.42$. 这种类型的膜泡已被实验上观察到^[12]

个面,演化次数不低于 10 万步.

我们利用 Hessian 矩阵分析了这三种膜泡的稳定性,发现它们都是稳定的.在固定 $c_0 = 2.03$ 的条件下,通过逐步改变图 2(a)的约化体积 v 发现,当 $v \geq 0.54$ 时, D_{3h} 对称性的海星形将出现负的本征值,长时间演化后会不连续地变成能量较低的哑铃形^[8],而当 $v \leq 0.45$ 时,也会出现负的本征值,长时间演化后它会不连续地变成能量较低的 Y 字形.同样,我们改用图 2(c),当 v 逐渐增大到 0.48 时, Y 字形会逐渐变成 D_{3h} 对称性的海星形.在 $0.45 \leq v \leq 0.48$ 时,同一个点上的 Y 字形的能量低于 D_{3h} 对称性的海星形的能量,要判断前者是否是从后者中分叉出来的需要较大的计算量,我们现在正在讨论.

图 2 中的三种海星形,可以确定它们是普适形状方程(2)的三支不同的稳定解.但是通过选取大量的点计算表明,其能量始终高于同一个点上轴对称形状的能量,因此它们始终是以亚稳态形式存在的.图 3 和 4 分别给出了 $v = 0.53$ 时,三种不同形状的 m 值和能量与 c_0 的变化曲线,此时已不存在稳定的 Y 字形和四爪海星形,并且 D_{3h} 对称性的海星形在 $c_0 \leq -0.1$ 时会不连续的变为双凹圆盘形,而双凹圆盘形在 $c_0 \geq 1.4$ 时会不连续的变为 D_{3h} 对称性的海星形(见后文).从图 3 看出,SC 模型中存在一个 m

海星形和四爪海星形膜泡.在固定面积和约化体积的条件下,通过逐步调整约化曲率 c_0 ,找到了与文献 5 中约化平均曲率积分 $m = \oint H dA/R_0$ 相对应的值 c_0 ,如图 2 所示,其中每个形状都达到 1—2 万

的取值区间,此区间内没有任何稳定的形状存在.显然这些形状之间的相变是不可能连续的.从图 4 看出, D_{3h} 对称性的海星的能量始终高于同一个点上轴对称形状的能量.

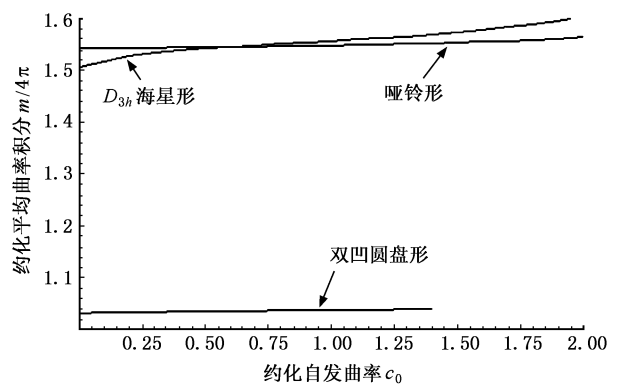


图 3 $v = 0.53$ 时,三种不同形状 $m/4\pi$ 的值与 c_0 的变化曲线

4. 三角扁盘及椭圆扁盘的不稳定性

利用图 1(a)作为初始形状,逐次细分并演化,很容易得到图 2(a)中的双凹圆盘形.固定该所得形状的体积和面积,逐步增大 c_0 并长时间演化,当

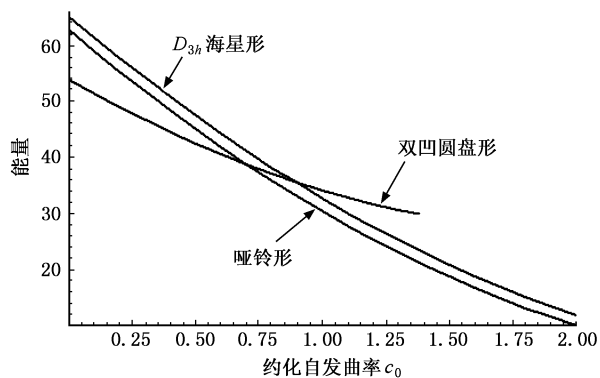


图 4 $v = 0.53$ 时, 三种不同形状的能量与 c_0 的变化曲线

$c_0 \geq 1.4$ 时, 其 hessian 矩阵会出现负的本征值. 表 1 给出了图 5 (b) 的 hessian 矩阵的前 9 个较小的本征值的大小及其对应的变形模式, 其中两个负的本征值都对应着向三角扁盘变形的模式. 另外, 还包括三个平移和两个旋转的本征值, 像这样的 5 个平庸本

征值会总是出现双凹圆盘形的本征值中. 从表 1 看出, 双凹圆盘存在三角扁盘和椭圆扁盘两种非平庸的变形模式, 该模式很可能是双凹圆盘在一定的热涨落下发生形变的方向. 给定负本征值一个步长为 0.2 的改变, 经过一段时间的演化后, 得到图 5 (c) 中的三角扁盘形, 该形状是不稳定的, 再经过一个较长时间的演化, 它会变成能量比它低的 D_{3h} 对称性的海星形. 如果使用 Hessian_seek 命令, 该过程会非常迅速 (如图 5 (d)). 利用图 5 (d) 中的海星形, 固定其体积, 逐步减小 c_0 并长时间演化, 当 $c_0 \leq -0.1$ 时, 其又会不连续地变成双凹圆盘形. 对于其他的体积下, 我们也做了大量的计算, 其结论是: 三角扁盘通常是不稳定的, 其要么变为双凹圆盘, 要么变为海星形. 因此, 双凹圆盘与海星形之间的相变是不连续的, 其间很难存在稳定的三角扁盘形中间相. 在文献 [11] 中, 曾用并不是普适方程 (2) 解的 Cassini 函数来获得三角扁盘形形状, 其结果显然是不可靠的.

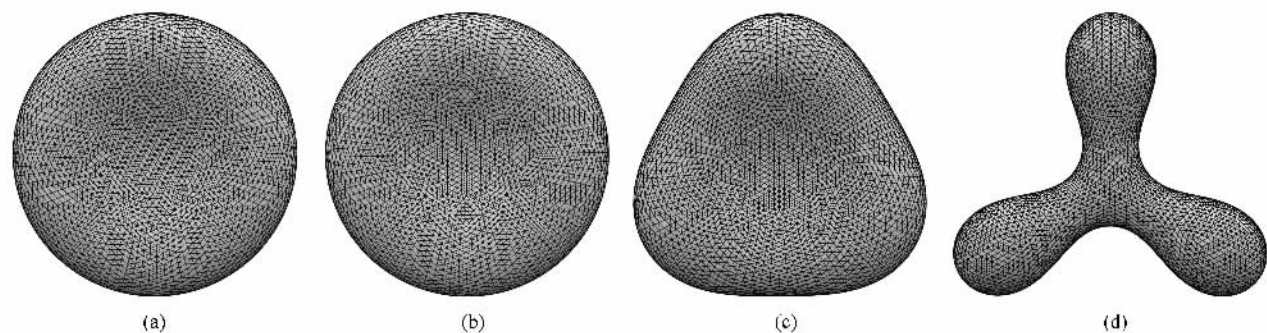


图 5 (a) 双凹圆盘形, 能量为 30.60, $R_0 = 1, c_0 = 1.3, v = 0.53, m = 1.04 \times 4\pi, \lambda = 3.96, P = -16.76$ (b) 不稳定的双凹圆盘形, $c_0 = 1.4, v = 0.53$ (c) 不稳定的三角扁盘形 (d) D_{3h} 对称性的海星形, 能量为 22.96, $R_0 = 1, c_0 = 1.4, v = 0.53, m = 1.57 \times 4\pi, \lambda = 4.5, P = -21.58$

表 1 本征值及其对应的变形模式

本征值	对应的变形模式
-1.1840910043788	三角扁盘
-1.1839849504631	三角扁盘
0.3776080003266	平移
0.7655720539026	旋转
0.7655720539128	旋转
0.9392163718540	平移
0.9392163719015	平移
4.1163856128133	椭圆扁盘
4.1163856129012	椭圆扁盘

演化, 在固定面积、体积和 c_0 的条件下很容易得到图 6 (a) 中的椭圆扁盘形形状. 在相当大的区域里, 这种形状都将出现. 如果把图 6 (a) 再次细分后演化一定时间, 其会变成图 6 (b) 中的双凹圆盘形. 但是, 若不细分图 6 (a), 无论演化多长时间, 它都会停留在椭圆扁盘上. 我们认为这种现象是由于软件内部的激发能引起的. 我们知道, 为了得到较为光滑的曲面, 就不得不使用 {V} 和 {u} 命令, 实践表明, 这两个命令会使曲面的能量略微升高, 其升高量我们称之为激发能. 该激发能的大小与许多因素有关, 一般情况下, 剖分越细, 激发能越小. 因此, 反复使用 {V}、{u} 和 {g} 命令所得到的曲面将会是激发能与积分下降能量相互竞争的结果, 两者相消时, 曲面形状将不

利用图 1 (a) 作为初始形状, 细分两次后长时间

会变化.大量的计算表明,在同一个点上,椭圆扁盘的能量略高于双凹圆盘的能量,因此,在较粗的剖分下,激发能会使双凹圆盘变成椭圆扁盘.细分以后,

激发能降低,长时间演化后其又会回到双凹圆盘.图7给出了 $v = 0.62$ 时相同剖分面数条件下两种形状的能量与 c_0 的变化曲线,其中椭圆扁盘的能量始终

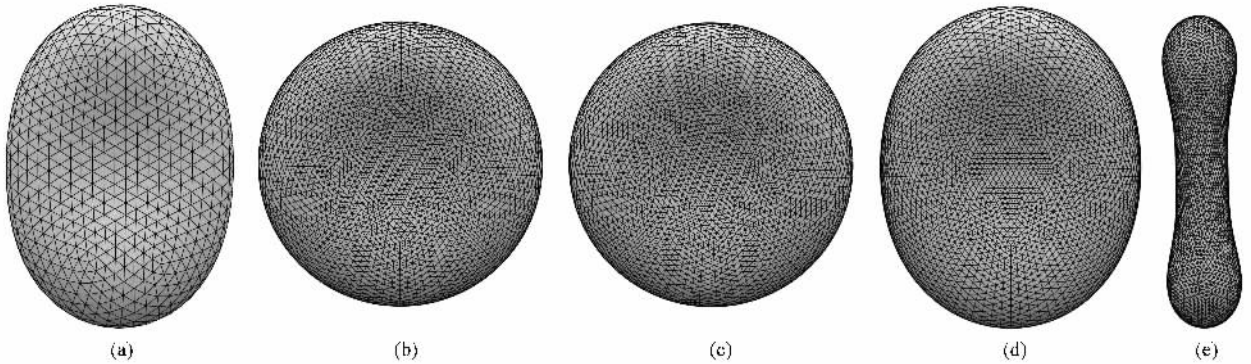


图6 (a)不稳定的椭圆扁盘形, $R_0 = 1, c_0 = 0.8, v = 0.62$ (b)双凹圆盘形, 能量为 30.98, $R_0 = 1, c_0 = 0.8, v = 0.62, m = 1.04 \times 4\pi, \lambda = 4.39, P = -15.76$ (c)不稳定的双凹圆盘形, $R_0 = 1, c_0 = 1, v = 0.62$ (d)不稳定的椭圆扁盘形 (e)哑铃形, 能量为 21.33, $R_0 = 1, c_0 = 1, v = 0.62, m = 1.37 \times 4\pi, \lambda = 4.88, P = -18.54$.

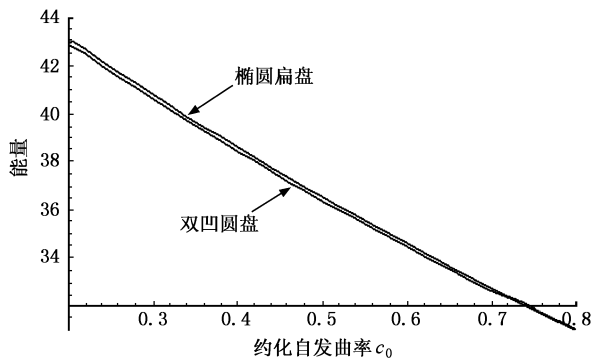


图7 $v = 0.62$ 时两种膜泡的能量与 c_0 的变化曲线

处于双凹圆盘上方,两者相差很小.

利用图6(b)中的双凹圆盘形,固定其体积,逐步增大 c_0 并长时间演化,当 $c_0 \geq 1$ 时,其 hessian 矩阵会出现负的本征值.表2给出了图6(c)的 hessian 矩阵的前9个比较小的本征值的大小及其对应的变形模式.同样给定负本征值一个步长为0.2的改变,经过一段时间的演化后,得到图6(d)中的椭圆扁盘形,该形状是不稳定的,再经过一个较长时间的演化,它会变成能量比它低的哑铃形(如果使用 Hessian_seek 命令,该过程会非常迅速),如图6(e).若用图6(e)中的哑铃形,固定其体积,逐步减小 c_0 并长时间演化,一直到胃形胞的区域里^[8],它都是稳定的.对于其他的体积下,我们也做了大量的计算,其结论是:椭圆扁盘通常是不稳定的,其要么变为双凹圆盘,要么变为哑铃形.因此,双凹圆盘与哑铃形

之间的相变是不连续的,其间很难存在稳定的椭圆扁盘形中间相.

表2 本征值及其对应的变形模式

本征值	对应的变形模式
-0.5835032875520	椭圆扁盘
-0.5835032874991	椭圆扁盘
0.2463069651919	平移
0.5299537477505	旋转
0.5299537478432	旋转
0.5745187957209	平移
0.5745187957797	平移
3.0258300225462	三角扁盘
3.0260227893315	三角扁盘

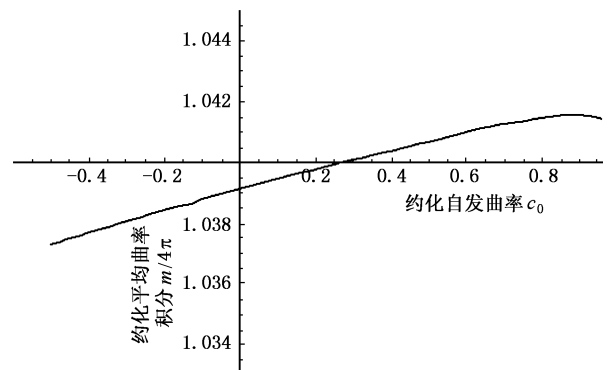


图8 $v = 0.62$ 时双凹圆盘的 $m/4\pi$ 值与 c_0 的变化曲线

对于稳定的双凹圆盘形,计算表明,其 m 值始终集中在 $1.04 \times 4\pi$ 左右.图 8 给出了 $v = 0.62$ 时 m 与 c_0 的变化曲线,当 v 取其他值时也有类似结果.图 8 中,当 $c_0 < -0.5$,双凹圆盘形会出现负的本征值,长时间演化后会不连续地变为胃形胞.

5. 结 论

(1)同一个点上,轴对称形状的能量始终低于非轴对称形状的能量,比如图 2 中的三种海星形形状,其能量都高于相同点上的哑铃形状.在球形拓扑下,我们目前所获得的几种非轴对称的稳定形状在 SC

模型下都是以亚稳态形式存在的.

(2)利用 hessian 矩阵对膜泡进行稳定性分析是获得稳定膜泡的有效方法.可以通过跟踪 hessian 矩阵的本征值及其对应的变形模式,从而确定膜泡相变的途径.我们的计算表明,三角扁盘和椭圆扁盘很可能是满足方程(2)的解,但并不是稳定解,并且,SC 模型中的大部分相变都是不连续的.

(3)不同形状应该有其对应的稳定区间,因此,就应该有稳定形状的相图.该相图与文献 [8,9] 中利用比较能量高低获得的基态相图有一定的差别.我们现在正在通过跟踪不同形状的本征值来获得稳定形状的相图,这显然需要较大的计算量.

-
- [1] Canham P B 1970 *J. Theor. Biol.* **26** 61
- [2] Helfrich W 1973 *Z. Naturforsch. C* **28** 693
- [3] Ou-Yang Z C, Helfrich W 1987 *Phys. Rev. Lett.* **59** 2486
- [4] Zhang S G, Ou-Yang Z C 1996 *Phys. Rev. E* **53** 4206
- [5] Ou-Yang Z C 1990 *Phys. Rev. A* **41** 4517
- [6] Naito H, Okuda M, Ou-Yang Z C 1993 *Phys. Rev. E* **48** 2304
- [7] Naito H, Okuda M, Ou-Yang Z C 1995 *Phys. Rev. Lett.* **74** 4345
- [8] Seifert U, Bendl K, Lipowsky R 1991 *Phys. Rev. A* **44** 1182
- [9] Jülicher F, Seifert U, Lipowsky R 1993 *J. phys. II France* **3** 1681
- [10] Wintz W, Döbereiner H G, Seifert U 1996 *Europhys. Lett.* **33** 404
- [11] Sekimura T, Hotani H 1991 *J. theor. Biol.* **149** 326
- [12] Hotani H 1984 *J. Mol. Biol.* **178** 114
- [13] Miao L, Seifert U, Wortis M, Döbereiner H G 1994 *Phys. Rev. E* **49** 5389
- [14] Svetina S, Zeks B 1989 *Eur. Biophys. J.* **17** 101
- [15] 该软件的免费下载网址为 <http://www.susqu.edu/facstaff/l/brakke/>
- [16] Yan J, Liu Q H, Liu J X, Ou-Yang Z C 1998 *Phys. Rev. E* **58** 4730
- [17] Zhou J J, Zhang Y, Zhou X, Ou-Yang Z C 2001 *In. J. Mod. Phys. B* **15** 2977
- [18] Zhang Y, Zhou X, Zhou J J, Ou-Yang Z C 2002 *In. J. Mod. Phys. B* **16** 511
- [19] Du Q, Liu C, Wang X Q 2006 *J. Comput Phys.* **212** 757
- [20] 有关该软件的详细说明请参见 Surface Evolver 的说明文档 <http://www.susqu.edu/facstaff/l/brakke/>

Obtaining and stability analysis of spherical topological vesicles with complex configurations^{*}

Zhou Xiao-Hua[†] Zhang Shao-Guang

(College of Physics and Information Technology , Shaanxi Normal University , Xi 'an 710062 , China)

(Received 28 December 2005 ; revised manuscript received 16 February 2006)

Abstract

Through building some initial shapes which are similar to target shapes in Surface Evolver , after a long time of evolvement , we obtain the starfish vesicles with D_{2h} and D_{3h} symmetry , which are supported by experiment . Through tracing the eigenvalues of Hessian matrix of different shapes , we find that between the oblate and the star-fish vesicles , and between the oblate and prolate vesicles , there are two discontinuous phase transformation , and the biconcave triangular shapes and the biconcave elliptic shapes are usually unstable in the SC model .

Keywords : SC model , vesicle , Surface Evolver

PACC : 8720 , 8720E , 0240

^{*} Project supported by the National Natural Science Foundation of China (Grant No. 10374063) and the National Science Research Plan of Shanxi Province , China (Grant No. 2003A08).

[†] E-mail : zxhua@stu.snnu.edu.cn